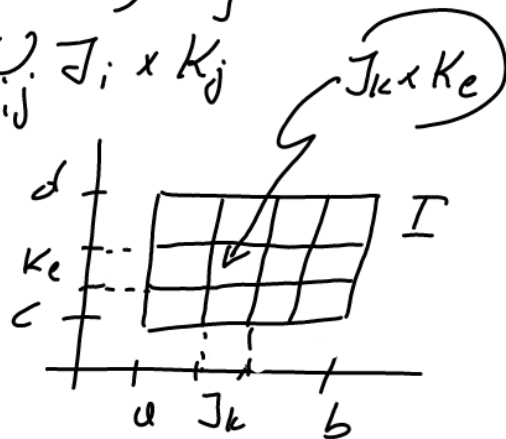


Seien  $J = \bigcup_{i=1}^m J_i$  und  $K = \bigcup_{j=1}^n K_j$  Zerlegungen in Teilintervalle. Dann ist  $I = \bigcup_{i,j} J_i \times K_j$

Wir sehen

$$m_{ij} = \inf \{ f(x,y) \mid (x,y) \in J_i \times K_j \}$$

$$M_{ij} = \sup \{ f(x,y) \mid (x,y) \in J_i \times K_j \}$$



Dann gilt

$$\forall (x,y) \in J_i \times K_j: m_{ij} \leq f(x,y) \leq M_{ij}$$

Int über  $J_i$   
 $\Rightarrow$   
 bzgl  $x$

$$m_{ij} |J_i| \leq \int_{J_i}^* f(x,y) dx \leq \int_{J_i}^* f(x,y) dy \leq M_{ij} |J_i|$$

$J = \bigcup J_i$   
 $\Rightarrow$

$$\sum_i m_{ij} |J_i| \leq \sum_i \int_{J_i}^* f(x,y) dx = \int_J^* f(x,y) dx =: F(y)$$

und

$$G(y) := \int_J^* f(x,y) dx \leq \sum_i M_{ij} |J_i|$$

Int über  $K_j$   
 $\Rightarrow$   
 bzgl  $y$

$$\sum_i m_{ij} |J_i| |K_j| \leq \int_{K_j}^* \left( \int_{J_i}^* f(x,y) dx \right) dy$$

und

$$\int_{K_j}^* \left( \int_J^* f(x,y) dx \right) dy \leq \sum_i M_{ij} |J_i| |K_j|$$

Summation

$$\underbrace{\sum_{i,j} m_{ij} |J_i \times K_j|}_{= U(f, Z)} \leq \int_{K^*}^* \left( \int_J^* f(x,y) dx \right) dy \leq \int_{K^*}^* \left( \int_J^* f(x,y) dx \right) dy \leq \underbrace{\sum_{i,j} M_{ij} |J_i \times K_j|}_{= O(f, Z)}$$

sup über  $Z$

$$\int_{J \times K} f(x,y) d(x,y) = \int_{J \times K}^* f(x,y) d(x,y)$$

Daraus ergibt sich mit einigen Zusatzbedingungen [08]

$$\left\{ \begin{aligned} \int_{J \times K} f(x,y) d(x,y) &= \int_K \left( \int_J f(x,y) dx \right) dy \\ \text{Analog} &\rightarrow \int_J \left( \int_K f(x,y) dy \right) dx \end{aligned} \right.$$

(iii) Allgemein gilt im  $\mathbb{R}^n$  der Satz v. Fubini:

Sei  $J$  ein  $m$ -dim  $k$ p Intervall,  $K$  ein  $n$ -dim  $k$ p Intervall und sei  $f: J \times K \rightarrow \mathbb{R}$  integrierbar. Dann gilt

$$\int_{J \times K} f(x,y) d(x,y) = \int_J \left( \int_K f(x,y) dy \right) dx = \int_K \left( \int_J f(x,y) dx \right) dy.$$

(iv) Daraus ergibt sich für  $I = [a_1, b_1] \times \dots \times [a_n, b_n]$  und  $f$  integrierbar  $I \rightarrow \mathbb{R}$

$$\int_I f(x) dx = \int_{a_n}^{b_n} \dots \int_{a_1}^{b_1} f(x_1, \dots, x_n) dx_1 \dots dx_n,$$

wobei die Reihenfolge der 1-d Integrale beliebig geändert werden darf.

(v) BSP.  $I = [0,1]^3$ ,  $f: I \rightarrow \mathbb{R}$ ,  $f(x,y,z) = xyz$

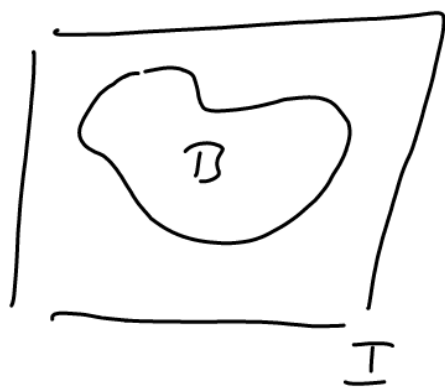
$$\begin{aligned} \int_I f(x,y,z) d(x,y,z) &= \int_0^1 \int_0^1 \int_0^1 xyz \, dx \, dy \, dz = \int_0^1 \int_0^1 yz \frac{x^2}{2} \Big|_0^1 dy \, dz = \\ &= \frac{1}{2} \int_0^1 \int_0^1 yz \, dy \, dz = \frac{1}{2} \cdot \frac{1}{2} \int_0^1 z \, dz = \left(\frac{1}{2}\right)^3 = \frac{1}{8} \end{aligned}$$

### 3.5 INTEGRALE ÜBER ALLEIEMEINE BEREICHE

(i) Motivation: Weder für die Praxis noch die Theorie ist es ausreichend Funktionen nur über  $n$ -dim Intervalle zu integrieren. Wir werden nun unseren Integralbegriff auf allgemeinere Teilmengen  $B \subseteq \mathbb{R}^n$  erweitern.

(ii) Sei  $B \subseteq \mathbb{R}^n$  beschränkt [d.h.  $\exists R: B \subseteq B_R(0)$  vgl. [5] S. 1], dann gibt es sicherlich ein  $n$ -dim Intervall  $I$  mit

$B \subseteq I$ . Für  $f: B \rightarrow \mathbb{R}$  definieren wir



$$f_B(x) := \begin{cases} f(x) & x \in B \\ 0 & x \notin B \end{cases}$$

Dann gilt offensichtlich  $f_B: \mathbb{R}^n \rightarrow \mathbb{R}$  beschr.  $\Leftrightarrow f$  beschränkt

Wir sagen  $f$  sei auf  $B$  integrierbar, falls

$f_B$  auf  $I$  intbar ist.

Es ist leicht zu sehen, dass dies nicht von der Wahl von  $I$  abhängt. Daher definieren wir weiter

$$\int_B f(x) dx = \int_I f_B(x) dx.$$

(iii) Die Rolle von  $B$ . Ob eine Fkt  $f$  über  $B$  intbar ist hängt sowohl von  $f$  als auch von  $B$  ab! Klarerweise ist man nur an solchen Bereichen  $B$  interessiert,

auf denen die Fkt 1 bzw die charakteristische Fkt  $\chi_B$  integrierbar ist. Dazu darf  $B$  nicht zu stark „zerfranst“ sein, vgl. 14] 1.9.cii):  $\chi_B$  ist nicht integrierbar.

Wir geben den Mengen unserer Interessen einen Namen

(iv) DEF. Eine nichtleere, beschränkte Menge  $B \subseteq \mathbb{R}^n$  heißt JORDAN-MESSBAR, falls 1 integrierbar auf  $B$  ist [oder was dasselbe ist  $\chi_B$  integrierbar ist] Kurt: messbar

In diesem Fall nennen wir

$$|B| := \int_B 1$$

den (Jordan-)Inhalt von  $B$ .

Im Fall  $n=2$  auch (Jordan)-Fläche  
 $n=3$   
 (Jordan)-Volumen

(v) Wie hübsch kann  $B$  sein?

Eine Antwort liefert [Heuser 2, 201.2]: Der Rand von  $B$  darf nicht zu lang/proß werden.

Genauer: Sei  $B \subseteq \mathbb{R}^n$  beschränkt, dann gilt

$B$  (Jordan-)messbar

$\Leftrightarrow \partial B$  ist eine (Jordan-)Nullmenge

$\Leftrightarrow \forall \varepsilon > 0$  endlich viele  $n$ -dim  $k_\varepsilon$  Intervalle

$I_1, \dots, I_n$  mit  $\partial B \subseteq \bigcup_{j=1}^n I_j$   
 und  $\sum_{j=1}^n |I_j| < \varepsilon$

$x \in \partial B$  Rand von  $B$

$\Leftrightarrow \forall$  Umgebung  $U$  von  $x$ :  
 $U \cap B \neq \emptyset \wedge U \cap B^c \neq \emptyset$



(vi) Eigenschaften des Integrals (die üblichen Ver-  
 Sei  $B$   $\mathcal{I}$ -messbar,  $f, g: B \rightarrow \mathbb{R}$  int- dächigen  
 bar,  $\lambda \in \mathbb{R}$ . Dann gilt

• Linearität:  $f+g, \lambda f$  intbar und

$$\int_B (f+g) = \int_B f + \int_B g, \quad \int_B (\lambda f) = \lambda \int_B f$$

• Monotonie:  $f \leq g \Rightarrow \int_B f \leq \int_B g$

$$\text{insbes } \int_B |f| \leq \int_B |g|$$

• MWS-S: Falls  $\exists m, M: m \leq f(x) \leq M \quad \forall x \in B$

$$\Rightarrow m |B| \leq \int_B f \leq M |B|$$

•  $A$  messbar,  $A \cap B = \emptyset$ ,  $f: \mathbb{R}^n \rightarrow \mathbb{R}$  intbar auf  $A$  &  $B$

$$\Rightarrow \int_{A \cup B} f = \int_A f + \int_B f \quad \text{und speziell mit } f=1$$

$$\int_{A \cup B} 1 = |A| + |B|$$

• Sei  $B$   $k_p$  & messbar,  $f: B \rightarrow \mathbb{R}$  stetig  $\Rightarrow f$  intbar auf  $B$

• Parameterintegral:  $f: [0, b] \times B \rightarrow \mathbb{R}$  stetig. Definiere  $\varphi$  ob

seq. Parameterintegral:  $\varphi: [0, b] \rightarrow \mathbb{R}$

$$\varphi(t) := \int_B f(t, x) dx$$

[Hausw.,  
20.13.]

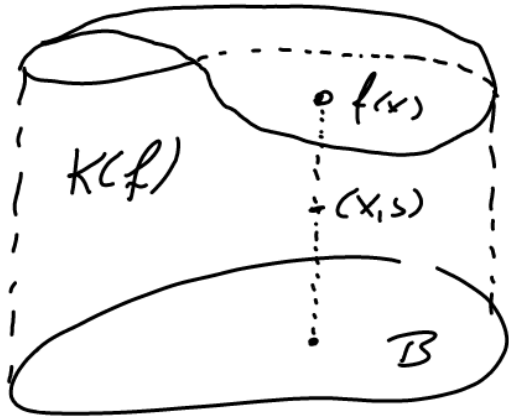
$\Rightarrow \varphi$  stetig.

Falls  $\partial_t f$  stetig  $\Rightarrow \varphi$  diffbar mit  $\varphi'(t) = \int_B \partial_t f(t, x) dx$

SEHR  
LIEBES  
KONTEXT

### 3.6 INHALT UNTER DEM GRAPHEN EINER FKT

(i) Die Fragestellung: Sei  $B \subseteq \mathbb{R}^n$  messbar und  $f: B \rightarrow \mathbb{R}$  integrierbar mit  $f \geq 0$ .



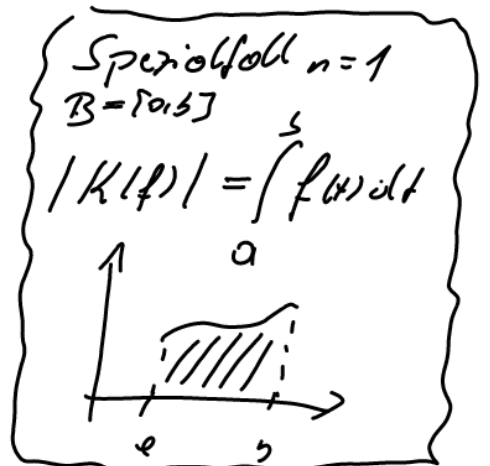
Wir betrachten die „Menge unter dem Graphen“ die sog. Ordinatenmenge von  $f$ :

$$K(f) := \{(x, s) \in B \times \mathbb{R} \mid 0 \leq s \leq f(x)\} \subseteq \mathbb{R}^{n+1}$$

Man kann zeigen, dass unter den obigen Voraussetzungen  $K(f)$  messbar ist [Hausdorff 2. 203. 1].

Darüber hinaus gilt

(ii) Satz  $|K(f)| = \int_B f$



Beweis.  $f$  intbar  $\Rightarrow f$  beschränkt

$$\Rightarrow \exists c > 0: 0 \leq f(x) \leq c \quad \forall x \in B$$

$B$  messbar  $\Rightarrow B$  beschränkt  $\Rightarrow \exists n$ -dim  $k_p$  Intervall  $I$   
mit  $B \subseteq I$

$$\Rightarrow K(f) \subseteq I \times [0, c] =: J \quad (n+1)\text{-dim } k_p \text{ Intervall}$$

Wir können rechnen

$$|K(f)| = \int_{K(f)} 1 \, d(x, s) = \int_J \chi_{K(f)} \, d(x, s) \stackrel{[\text{Fubini}]}{\leq} \int_I \left( \int_0^c \chi_{K(f)}(x, s) \, ds \right) dx. \quad (*)$$

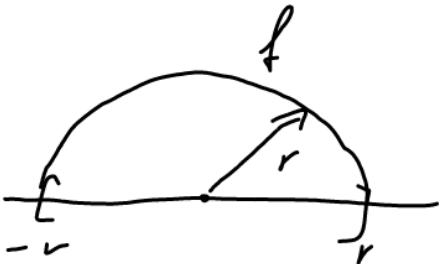
Für  $x \in I \setminus \mathcal{B}$  gilt  $\chi_{K(f)}(x, s) = 0 \quad \forall s \in \mathbb{R}$   
 $f_{\mathcal{B}}(x) = 0$

Für  $x \in \mathcal{B}$  ist  $\chi_{K(f)}(x, s) = \begin{cases} 1 & 0 \leq s \leq f(x) \quad (\Leftrightarrow) \quad s \in [0, f(x)] \\ 0 & s \notin [0, f(x)] \end{cases}$

$$\Rightarrow \int_0^c \chi_{K(f)}(x, s) ds = \int_0^{f(x)} 1 ds \quad \forall x \in I$$

$$\Rightarrow |K(f)| \stackrel{(*)}{=} \int_I \left( \int_0^{f_{\mathcal{B}}(x)} 1 ds \right) dx = \int_I f_{\mathcal{B}}(x) dx = \int_{\mathcal{B}} f(x) dx \quad \square$$

(iii) BSP (Kreisscheibe)  $\mathcal{B} = [-r, r], r > 0, f(x) = \sqrt{r^2 - x^2}$



$K(f)$  ... Halbkreisfläche vom Radius  $r$

$$|K(f)| = \int_{\mathcal{B}} \sqrt{r^2 - x^2} dx$$

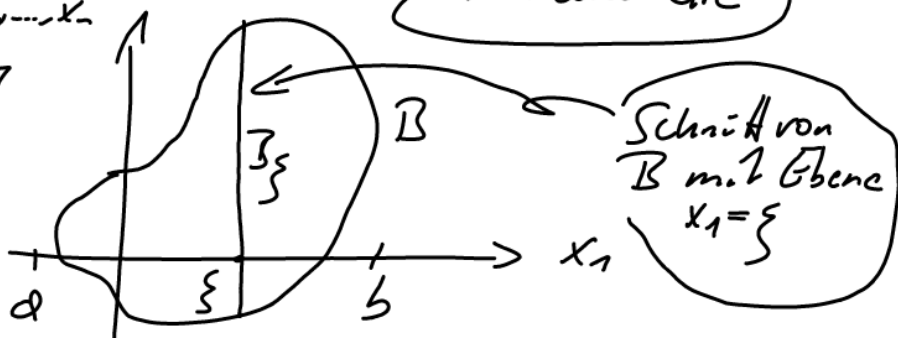
$$= \int_{\mathcal{B}} \text{subst} \left[ x = r \sin(t) \right] \text{siehe 14} \quad 2.17 \text{ (iii)}$$

$$= r^2 \frac{\pi}{2}$$

### 3.7 DAS PRINZIP VON CAVALIERI

(i) Die Idee: Sei  $\mathcal{B} \subseteq \mathbb{R}^n$  messbar und  $\forall x = (x_1, \dots, x_n) \in \mathcal{B}$

gelte  $0 \leq x_1 \leq b$  Einschränkung in 1. Koordinate



Berechnung für  $\xi \in [0, b]$

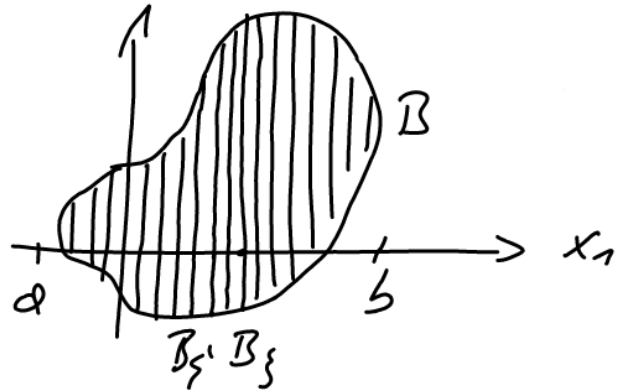
$$\mathcal{B}_{\xi} := \{ (x_2, \dots, x_n) \in \mathbb{R}^{n-1} : (\xi, x_2, \dots, x_n) \in \mathcal{B} \}$$

und  $q(\xi) := |\mathcal{B}_{\xi}|$

Die Idee des Prinzips von Cavalieri ist es nun den Inhalt von  $B$  mittels "Schnittmethode" zu berechnen indem alle  $p(\xi)$  "aufsummiert" d.h. "aufintegriert" werden.

Genauer gilt die folgende

$$(ii) \text{ SAT 7: } |B| = \int_a^b p(\xi) d\xi$$



Beweis [ähnliche Idee wie 3.6(ii)]

Sei  $J$  ein  $(n-1)$  dim  $k_p$  Intervall sodass  $B \subseteq [0, b] \times J$ ,  
dann gilt

$$|B| = \int_B 1 dx = \int_{[0, b] \times J} \chi_B(x) dx \stackrel{[\text{Fubini}]}{=} \int_a^b \left( \int_J \chi_B(\xi, x_1, \dots, x_{n-1}) d(x_1, \dots, x_{n-1}) \right) d\xi. \quad (*)$$

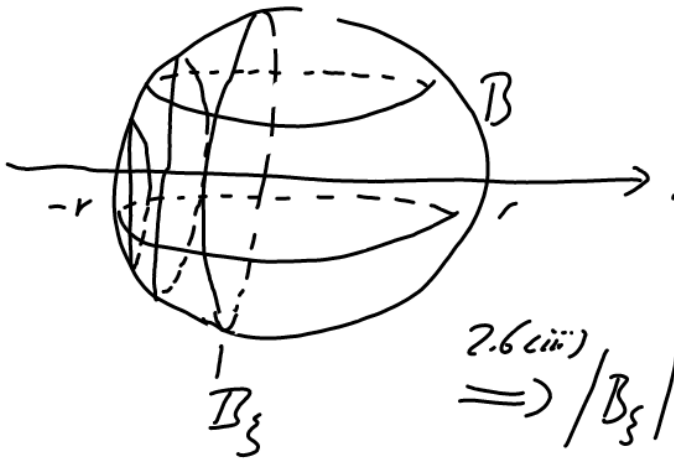
Es gilt

$$\chi_B(\xi, x_2, \dots, x_n) = \begin{cases} 0 & (x_2, \dots, x_n) \notin B_\xi \\ 1 & (x_2, \dots, x_n) \in B_\xi \end{cases} = \chi_{B_\xi}^{(x_2, \dots, x_n)} \quad (**)$$

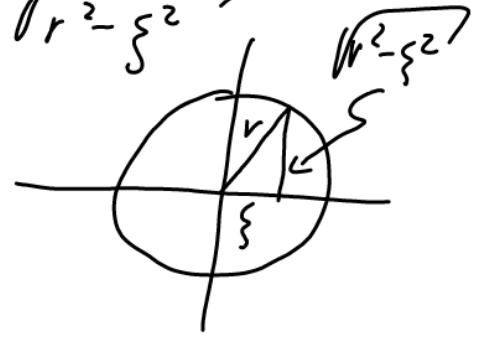
und daher

$$\begin{aligned} |B| &\stackrel{(*)}{=} \int_a^b \left( \int_J \chi_{B_\xi}^{(x_2, \dots, x_n)} d(x_2, \dots, x_n) \right) d\xi \stackrel{(**)}{=} \int_a^b p(\xi) d\xi \\ &= \int_{B_\xi} 1 d(x_2, \dots, x_n) = |B_\xi| = p(\xi) \quad \square \end{aligned}$$

(iii) BSP (Kugel)  $B = \{(x, y, z) \in \mathbb{R}^3 \mid x^2 + y^2 + z^2 \leq r\}$  ( $r > 0$ )  
 Kugel vom Radius  $r$



Für  $-r \leq \xi \leq r$  ist  $B_\xi$  eine Kreisscheibe vom Radius  $\sqrt{r^2 - \xi^2}$



2.6 (iii)  
 $\Rightarrow |B_\xi| = \rho(\xi)$   
 $\rho = (r^2 - \xi^2)\pi$

$\Rightarrow |B| \stackrel{(ii)}{=} \int_{-r}^r (r^2 - \xi^2)\pi d\xi = \pi \left( r^2\xi - \frac{\xi^3}{3} \right) \Big|_{-r}^r$   
 $= \pi \left( r^3 - \frac{r^3}{3} + r^3 - \frac{r^3}{3} \right) = \frac{4\pi}{3} r^3$

3.8 INTEGRATION ÜBER NORMALBEREICHE

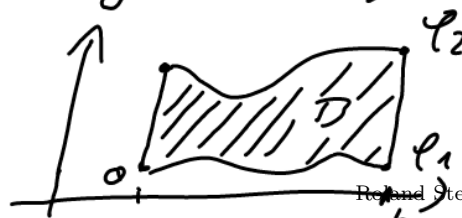
(i) Fragestellung & DEF. Wir stellen eine weitere Methode vor, Funktionen über „schöne“ Flächen zu integrieren; eine Verallgemeinerung auf höhere Dimensionen kann problemlos beverlestelligt werden.

bzgl. einer Koordinate durch Geraden begrenzt

Eine Menge  $B \subseteq \mathbb{R}^2$  heißt Normalbereich bzgl. der x-Achse,

falls  $B = \{(x, y) \mid 0 \leq x \leq b, \varphi_1(x) \leq y \leq \varphi_2(x)\}$

wobei  $0 \in \mathbb{R}, \varphi_1, \varphi_2: [0, b] \rightarrow \mathbb{R}$  stetige Fkt sind



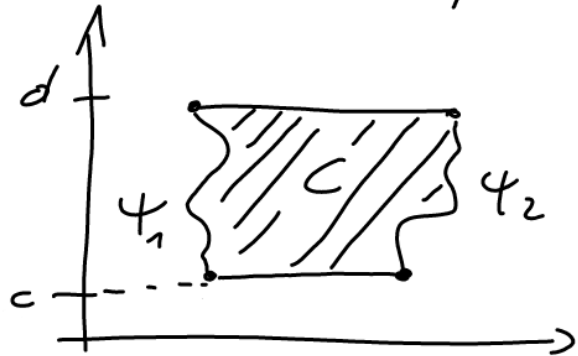
WEGGELASSEN

Analog dazu heißt  $C \subseteq \mathbb{R}^2$  Normalbereich bzgl. der y-Achse, falls

$$C = \{(x, y) \mid c \leq y \leq d, \varphi_1(y) \leq x \leq \varphi_2(y)\}$$

mit  $c, d \in \mathbb{R}$  und

$\varphi_1, \varphi_2: [c, d] \rightarrow \mathbb{R}$  stetig



Die Integration über

Normalbereiche kann nun

mittels denselben Ideen wie in 3.6, 3.7 bewerkstelligt werden.

(ii) Satz Sei  $B \subset \mathbb{R}^2$  ein Normalbereich bzgl. der x-Achse und sei  $f: B \rightarrow \mathbb{R}$  bzw.  $f: C \rightarrow \mathbb{R}$  stetig.

Dann gilt

$$\int_B f(x, y) dx dy = \int_0^b \left( \int_{\varphi_1(x)}^{\varphi_2(x)} f(x, y) dy \right) dx \quad \text{bzw.}$$

$$\int_C f(x, y) dx dy = \int_c^d \left( \int_{\varphi_1(y)}^{\varphi_2(y)} f(x, y) dx \right) dy$$

WEGGELASSEN

Beweis. Wir behandeln nur den 1. Fall, der 2. ist analog.

Setze  $m := \min \varphi_1$ ,  $M := \max \varphi_2$  [ $f$  wird stetig auf  $[0, b] \times [m, M]$ ]

$$I := [0, b] \times [m, M]$$

Es gilt

$$\int_B f = \int_I f_B dx dy \stackrel{\text{Fubini: } b, M}{=} \int_0^b \left( \int_m^M f_B(x, y) dy \right) dx. \quad (*)$$

Für  $x \in [0, b]$

fixiert:

$$f_B(x, y) = \begin{cases} 0 & y \notin [\varphi_1(x), \varphi_2(x)] \\ f(x, y) & y \in [\varphi_1(x), \varphi_2(x)] \end{cases}$$

Daher  $\int_B f(x,y) dx dy = \int_a^b \left( \int_{\varphi_1(x)}^{\varphi_2(x)} f(x,y) dy \right) dx$ .

Ja, das passt er  
siehe Bsp (iv)

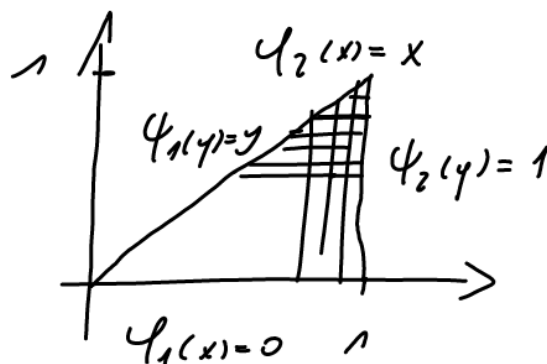
(iii) Eine einfache Formulierung aus (ii) ist

KOR. Sei  $A \times B$  bzgl  $x$ - und  $y$ -Achse, dann gilt

$$\int_a^b \left( \int_{\varphi_1(x)}^{\varphi_2(x)} f(x,y) dy \right) dx = \int_c^d \left( \int_{\psi_1(y)}^{\psi_2(y)} f(x,y) dx \right) dy$$

(iv) BSP. Sei  $A$  wie folgt,  
 $A$  liegt auf  $A$ .

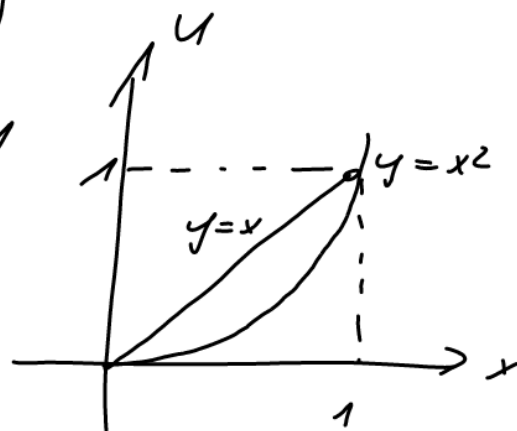
Dann ist  $A \times B$  bzgl  $x$ - &  
 $y$ -Achse und daher



$$\int_A f = \int_0^1 \left( \int_0^x f(x,y) dy \right) dx = \int_0^1 \left( \int_y^1 f(x,y) dx \right) dy$$

(v) Ein explizites Bsp

$f(x,y) = xy$  und  $B$  der Bereich im 1. Quadranten zwischen den Fkt  $y=x$  und  $y=x^2$



•  $B$  ist  $NB$  bzgl der  $x$ -Achse

mit  $\varphi_1(x) = x^2$ ,  $\varphi_2(x) = x$ ,  $x \in [0,1]$  und daher

$$\int_B xy d(x,y) = \int_0^1 \left( \int_{x^2}^x xy dy \right) dx = \int_0^1 x \left[ \frac{y^2}{2} \right]_{x^2}^x dx =$$

$$= \frac{1}{2} \int_0^1 (x^2 - x^5) dx = \frac{1}{2} \left( \frac{x^3}{3} - \frac{x^6}{6} \right) \Big|_0^1 = \frac{1}{2} \left( \frac{1}{3} - \frac{1}{6} \right) = \frac{1}{24}$$

• B ist auch NB bzgl. y-Achse mit  $\psi_1(y) = y$ ,  $\psi_2(y) = \sqrt{y}$ ,  $y \in [0, 1]$  und es ergibt sich

Zum Spät  
Olech  
Ondersum

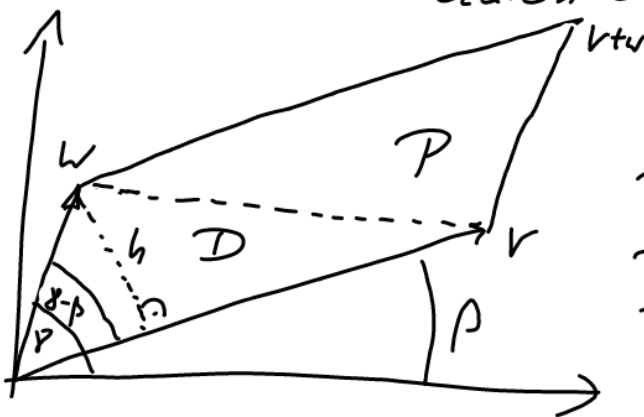
$$\int_B xy \, d(x,y) = \int_0^1 \left( \int_y^{\sqrt{y}} xy \, dx \right) dy = \int_0^1 y \frac{x^2}{2} \Big|_y^{\sqrt{y}} dy$$

$$= \frac{1}{2} \int_0^1 (y^2 - y^3) dy = \frac{1}{2} \left( \frac{y^3}{3} - \frac{y^4}{4} \right) \Big|_0^1 = \frac{1}{2} \left( \frac{1}{3} - \frac{1}{4} \right) = \frac{1}{24}$$

### 3.9 SUBSTITUTIONSREGEL FÜR MEHRFACHINTEGRALE

(i) Problemstellung: Ein wesentliches Werkzeug der 1-d. Integralrechnung ist die Substitutionsmethode. Auch die mehrdim. Integralrechnung kommt nicht ohne eine analoge Methode aus; diese werden wir hier kennenlernen

(ii) Vorgeplänkel: Die Fläche eines Parallelogramms ist durch die Determinante gegeben



Seien  $v, w \in \mathbb{R}^2$ ,  
 P das Parallelogramm  $O, v, v+w, w$   
 D das Dreieck  $O, v, w$   
 Es gilt  $|P| = 2|D|$

Wir berechnen  $|P|$  explizit. Zunächst schreiben wir

$$v_1 = \|v\| \cos(\beta), v_2 = \|v\| \sin(\beta)$$

$$w_1 = \|w\| \cos(\alpha), w_2 = \|w\| \sin(\alpha) \quad h = \|w\| \sin(\alpha - \beta)$$

Damit gilt

$$\begin{aligned}
 |P| &= 2|D| = \|v\| h = \|v\| \|w\| \sin(\beta - \alpha) \\
 &= \|v\| \|w\| (\sin(\alpha) \cos(\beta) - \sin(\beta) \cos(\alpha)) \\
 &= v_1 w_2 - v_2 w_1 = \det \begin{pmatrix} v_1 & w_1 \\ v_2 & w_2 \end{pmatrix}
 \end{aligned}$$

1) benötigt falls  $\beta < \alpha$

also  $|P| = |\det(v, w)|$

n-dim Parallelepiped

Ähnlich ergibt sich für Parallelepipede im  $\mathbb{R}^n$   
 $|P| = \det(v_1, \dots, v_n)$

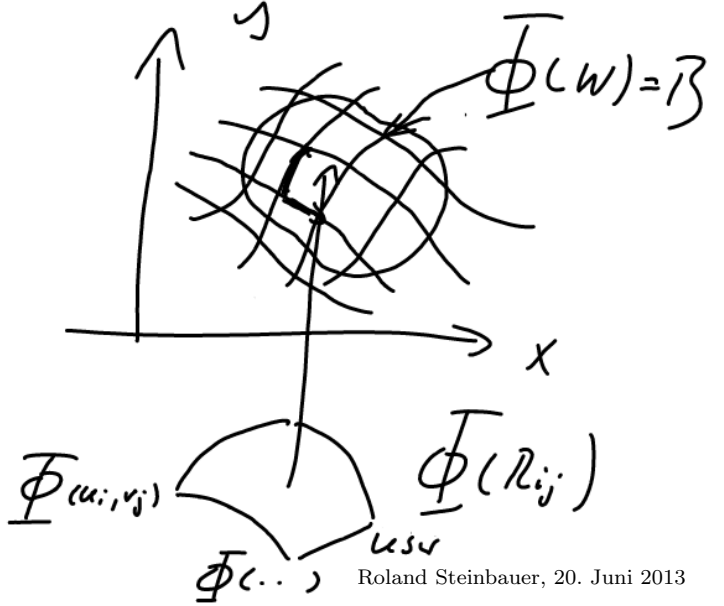
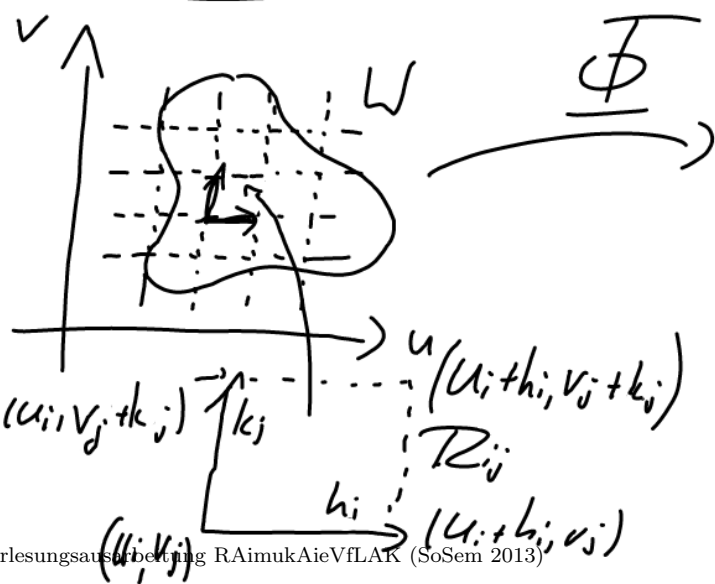
(iii) Heuristik. Wie verändert sich das Volumen unter einer Koordinatentransformation?

AUF FOLIE

Sei  $B \subseteq \mathbb{R}^2$  messbar,  $f: B \rightarrow \mathbb{R}^2$  invertierbar. In

$\int_B f(x,y) dx dy$  substituieren wir  $\begin{cases} x = \varphi(u,v) \\ y = \psi(u,v) \end{cases}$

wobei  $\Phi(u,v) = \begin{pmatrix} \varphi(u,v) \\ \psi(u,v) \end{pmatrix}$  eine inj.  $C^1$  Abb  
 $\Phi: W \rightarrow B$  ist mit  $W \subseteq \mathbb{R}^2$



Betrachten wir eines der kleinen Rechtecke in  $\mathcal{U}$

$$R_{ij} \approx \begin{pmatrix} u_i \\ v_j \end{pmatrix}, \begin{pmatrix} u_i + h_i \\ v_j \end{pmatrix}, \begin{pmatrix} u_i + h_i \\ v_j + k_j \end{pmatrix}, \begin{pmatrix} u_i \\ v_j + k_j \end{pmatrix}$$

Dieses wird von  $\Phi$  auf ein „krummes Parallelogramm“ abgebildet

$$\Phi(R_{ij}) \approx \Phi \begin{pmatrix} u_i \\ v_j \end{pmatrix}, \Phi \begin{pmatrix} u_i + h_i \\ v_j \end{pmatrix}, \Phi \begin{pmatrix} u_i + h_i \\ v_j + k_j \end{pmatrix}, \Phi \begin{pmatrix} u_i \\ v_j + k_j \end{pmatrix}$$

Wäre dieses ein „echtes Parallelogramm“ so wäre seine Fläche  $\det(\tilde{v}, \tilde{w})$  mit

$$\tilde{v} = \begin{pmatrix} \Psi(u_i + h_i, v_j) - \Psi(u_i, v_j) \\ \Psi(u_i + h_i, v_j) - \Psi(u_i, v_j) \end{pmatrix}, \tilde{w} = \begin{pmatrix} \Psi(u_i, v_j + k_j) - \Psi(u_i, v_j) \\ \Psi(u_i, v_j + k_j) - \Psi(u_i, v_j) \end{pmatrix}$$

Für kleine  $h_i, k_j$  ist lt. MWS

$$\tilde{v} \approx \begin{pmatrix} \partial_u \Psi(u_i, v_j) \cdot h_i \\ \partial_v \Psi(u_i, v_j) \cdot h_i \end{pmatrix} = h_i \partial_u \Phi(u_i, v_j)$$

$$\tilde{w} \approx \begin{pmatrix} \partial_u \Psi(u_i, v_j) \cdot k_j \\ \partial_v \Psi(u_i, v_j) \cdot k_j \end{pmatrix} = k_j \partial_v \Phi(u_i, v_j)$$

und daher

$$|\Phi(R_{ij})| \approx |\det(\tilde{v}, \tilde{w})| = |\det \mathcal{D}\Phi(u_i, v_j)| / |h_i k_j| = \underbrace{|\det \mathcal{D}\Phi(u_i, v_j)|}_{\text{Jacobi Matrix}} / |R_{ij}|$$

Mit dieser Heuristik ergibt sich

$$\int_B f(x,y) dx,y \approx \sum_{i,j} f(\varphi(u_i, v_j), \psi(u_i, v_j)) / |\det D\Phi(u_i, v_j)| / |R_{ij}|$$

$$\downarrow h_{ik} \rightarrow 0, \text{ d.h. } |R_{ij}| \rightarrow 0$$

$$\int_U f(\Phi(u,v)) / |\det D\Phi(u,v)| d(u,v)$$

Das Integral transformiert also mit dem Betrag der Determinante der Jacobi-Matrix der Koordinatentransformation.

Ein strenger Beweis dieser Aussage ist sehr aufwendig (siehe [Höcherl, §205]). Wir holen hier das Resultat exakt frei.

(iv) TH17 (Substitutionsregel) Sei  $U \subseteq \mathbb{R}^n$  offen,  $\Phi: U \rightarrow \mathbb{R}^n$  eine injektive  $\mathcal{C}^1$ -Fkt mit  $\det D\Phi(u) \neq 0 \forall u \in U$ . Für  $K \subseteq U$   $k_p$  & messbar und  $f: \Phi(K) \rightarrow \mathbb{R}$  stetig gilt dann

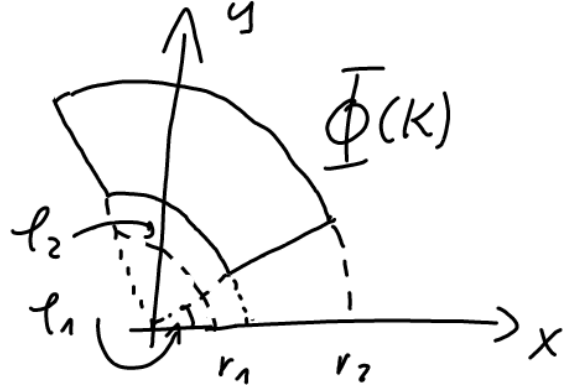
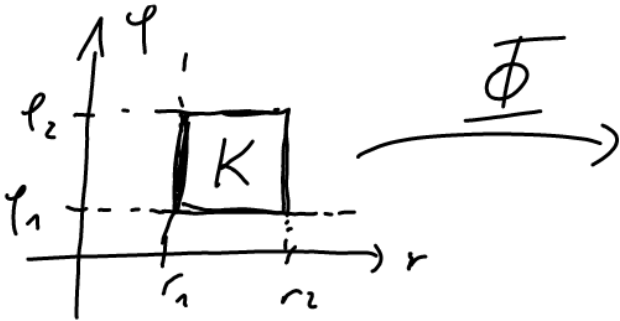
$$\int_{\Phi(K)} f(x) dx = \int_K f(\Phi(u)) / |\det D\Phi(u)| du$$

Die Aussage gilt auch noch falls die Voraussetzungen an  $\Phi$  auf einer  $J$ -Nullmenge verletzt sind (\*)

(VI) BSP (Polarkoordinaten)  $\Phi(r, \varphi) = \begin{pmatrix} r \cos(\varphi) \\ r \sin(\varphi) \end{pmatrix}$



$D\Phi(r, \varphi) = \begin{pmatrix} \cos(\varphi) & -r \sin(\varphi) \\ \sin(\varphi) & r \cos(\varphi) \end{pmatrix}$ ,  $\det D\Phi(r, \varphi) = r$



[6] 4.5(vii)  $\Rightarrow \Phi$  Diffeo in einer Umgebung jedes Punktes  $(r, \varphi)$ ,  $r > 0$   
 UE 2915  $\Rightarrow \Phi$  injektiv  $U = \{(r, \varphi) \mid r > 0, 0 < \varphi < 2\pi\} \rightarrow \mathbb{R}^2 \setminus \{0, \infty\}$

Daher gilt für jedes Rechteck  $K = \{(r, \varphi) \mid r_1 \leq r \leq r_2, \varphi_1 \leq \varphi \leq \varphi_2\}$   
 mit  $0 < r_1 < r_2$ ,  $0 < \varphi_1 < \varphi_2 < 2\pi$  und allgemein für jede  
 $k_p$ -messbare Menge  $M \subseteq U$  [Heuser 2, §208]

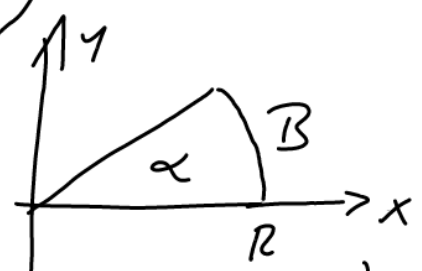
AUF FOCUS

$$\int_{\Phi(K)} f(x, y) dx, y = \int_K f(r \cos(\varphi), r \sin(\varphi)) r dr d\varphi$$

$$= \int_{\varphi_1}^{\varphi_2} \int_{r_1}^{r_2} f(r \cos(\varphi), r \sin(\varphi)) r dr d\varphi$$

nur für K Rechtecke Reihenfolge egal

z.B. KREISSEKTOR mit Winkel  $\alpha$ , Radius  $R$



$B = \Phi(K)$  mit  $K = [0, R] \times [0, \alpha]$  (beachte  $\alpha$  in (ir))

$$|B| = \int_{\Phi(K)} 1 dx, y = \int_K r dr d\varphi = \int_0^\alpha \int_0^R r dr d\varphi = \int_0^\alpha \left[ \frac{r^2}{2} \right]_0^R d\varphi = \frac{R^2}{2} \int_0^\alpha d\varphi = \frac{R^2}{2} \alpha$$

(vi) Bsp (Ellipsenfläche)  $B = \left\{ (x, y) \mid \frac{x^2}{a^2} + \frac{y^2}{b^2} \leq 1 \right\}$   $a > b > 0$

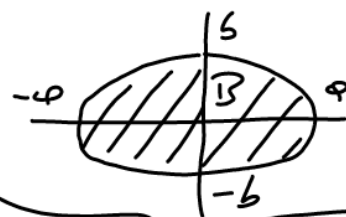
Setze  $\underline{\Phi}(r, \varphi) = r \begin{pmatrix} a \cos(\varphi) \\ b \sin(\varphi) \end{pmatrix}$

$B = \underline{\Phi}([0, 1] \times [0, 2\pi])$  (beachte  $a$  in  $(r)$ )

$|B| = \int_B 1 \, d(x, y)$

$= \int_0^{2\pi} \int_0^1 |\det D\underline{\Phi}(r, \varphi)| \, dr \, d\varphi$

$= \int_0^{2\pi} \int_0^1 ab r \, dr \, d\varphi = ab \frac{1}{2} 2\pi = \underline{ab\pi}$  [Kreis:  $a=b=r \Rightarrow |B| = r^2\pi$ ]

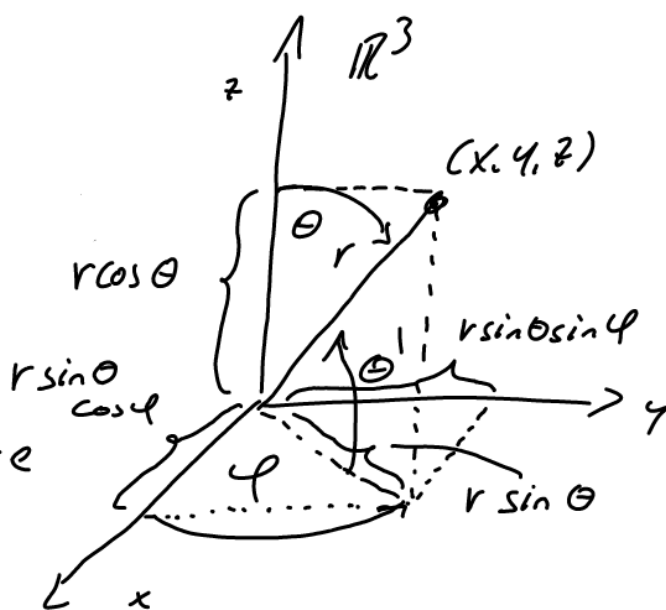


elliptische Koordinaten  
aller rülpig analog zu (v)

$\det D\underline{\Phi}(r, \varphi) = ab r$

(vii) Bsp (Kugelkoordinaten)

$\underline{\Phi}(r, \varphi, \theta) = \begin{pmatrix} r \cos \varphi \sin \theta \\ r \sin \varphi \sin \theta \\ r \cos \theta \end{pmatrix}$



ACHTUNG: Es gibt auch eine andere

Konvention mit  $\theta$  statt  $\Theta$

[Heuser]; wir verwenden die

[Förster]-Konvention vgl. auch UE 24 [6]

UE 24 [6]  $\Rightarrow \det D\underline{\Phi}(r, \varphi, \theta) = -r^2 \sin \theta$  und  $\underline{\Phi}$  ist injektiv auf  $U = (0, \infty) \times (0, 2\pi) \times (0, \pi)$ .

Daher gilt für jedes Rechteck  $K = [r_1, r_2] \times [\varphi_1, \varphi_2] \times [\theta_1, \theta_2]$  mit  $0 < r_1 < r_2$ ,  $0 < \varphi_1 < \varphi_2 < 2\pi$ ,  $0 < \theta_1 < \theta_2 < \pi$  bzw. allgemein für  $K \subseteq U$   $k_p$  & messbar

AUF FOLIE

$$\int_{\Phi(K)} f(x, y, z) d(x, y, z) = \int_K f(r \cos \varphi \sin \theta, r \sin \varphi \sin \theta, r \cos \theta) r^2 \sin \theta d(\varphi, \theta, r)$$

$$= \int_{\varphi_1}^{\varphi_2} \int_{\theta_1}^{\theta_2} \int_{r_1}^{r_2} f(\dots) r^2 \sin \theta dr d\theta d\varphi$$

→ nur falls  
Rechteck

→ Reihenfolge egal

z. B. KUGELVOLUMEN

$$B = K_R(0) = \{(x, y, z) \mid x^2 + y^2 + z^2 \leq R^2\} \quad R > 0$$

$$= \Phi([0, R] \times [0, 2\pi] \times [0, \pi])$$

(beachte  $\varphi$  in  $(r, \theta, \varphi)$ )

$$|B| = \int_B 1 d(x, y, z)$$

$$= \int_0^{2\pi} \int_0^\pi \int_0^R r^2 \sin \theta dr d\theta d\varphi = 2\pi \int_0^\pi \sin \theta d\theta \int_0^R r^2 dr$$

$$= 2\pi \underbrace{(-\cos \theta)}_2 \Big|_0^\pi \frac{R^3}{3} = \underline{\underline{\frac{4\pi}{3} R^3}}$$